

SISTEMI SHORT- RANGE

IDENTIFICAZIONE
A RADIO FREQUENZA

RFID

WIRELESS SENSORS

CARATTERIZZAZIONE DI ANTENNE RICEVENTI

Si ricorda intanto che in antenna in trasmissione c'è caratteristica da me funzione di trasferimento che lega le correnti sull'antenna stessa al campo incidente in zone lontane; l'effetto efficace

$$\underline{h}(\underline{\xi})$$

Era corrisponde alle trasformate spaziali di Fourier delle proiezione delle corrente dell'antenna sul piano normale alle direzioni di osservazione.

$$\underline{h}(\underline{\xi}) = \frac{1}{I_g} \iiint_V \underline{J}_L(\underline{r}') e^{j k_0 \underline{\xi} \cdot \underline{r}'} d\underline{r}'$$

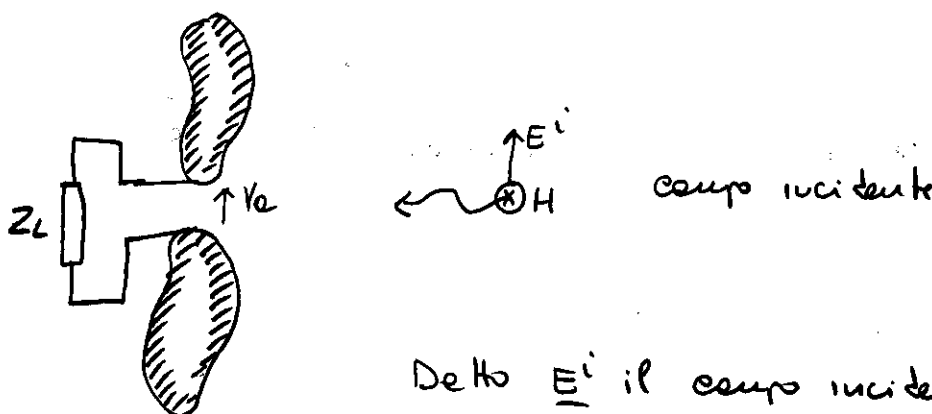
I_g : corrente
ai massimi

Il campo incidente da me qualche antenna in zone lontane si può quindi scrivere così

$$\underline{E}(\underline{\xi}) = -j z_0 k_0 \frac{e^{jk_0 z}}{4\pi r} I_g \underline{h}(\underline{\xi})$$

Si indicherà ora con h_T l'effetto efficace in trasmissione

Si consideri un'antenna in modello niente, i cui morsetti cioè siano terminati su di un cono Z_L che rappresenta il ricevitore, o più in generale un utilizzatore



Detto E^i il campo incidente sull'antenna, si suppone che initialmente i morsetti siano posti a vuoto (in circuito aperto). Ai capi di essi venne indotta una tensione V_a che sarà linearmente dipendente dal campo incidente e dalla direzione di incidente

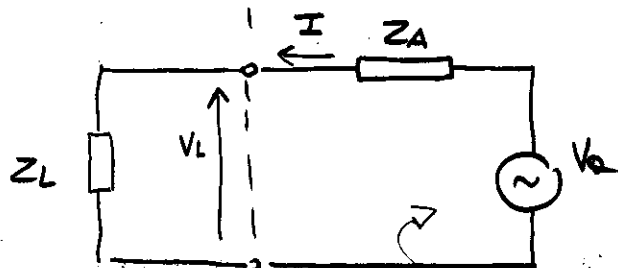
$$V_a = h_R(\theta, \phi) \cdot E^i$$

$h_R(\theta, \phi)$ ha il senso di funzione di trasferimento ed è chiamata albero effettivo in ricezione

Si dimostra con il Teorema di Reciprocità che

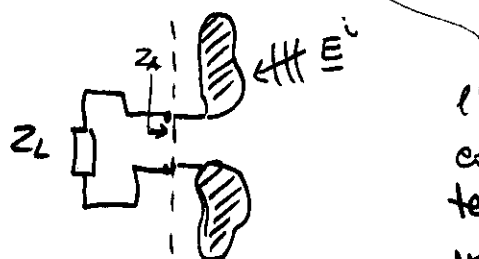
$$\underline{h_R} = \underline{h_T}$$

L'antenna trasmettente può a questo punto essere descritta con un circuito equivalente di Thévenin.



$$Z_L = R_L + jX_L$$

$$Z_A = R_A + jX_A$$



l'antenna è rappresentata con un generatore di tensione (campo incidente) in serie alla sua impedenza interna (impedenza d'antenna)

Analizzando il circuito si ha

$$I = \frac{V_A}{Z_L + Z_A} \quad V_L = \frac{Z_L}{Z_L + Z_A} V_A = \frac{Z_L}{Z_L + Z_A} \underline{E'} \cdot h_R$$

La potenza essenziale delle due impedenze è

$$P_L = \frac{1}{2} R_L |I|^2$$

potente ricevuta dal conc

$$P_A = \frac{1}{2} R_A |I|^2$$

potenze re-iniettate dell'antenna

più in dettaglio

$$P_L = \frac{R_L |V_{el}|^2}{2 |Z_L + Z_A|^2} \equiv \frac{R_L}{2 |R_L + R_A + j(X_L + X_A)|^2} |V_{el}|^2$$

Il massimo trasferimento di potenza al carico si ha in condizioni di adattamento complesso

$$Z_A = Z_L^* \Rightarrow R_A = R_L \\ X_A = -jX_L$$

$$P_{L,\max} = \frac{1}{8 R_A} |V_{el}|^2$$

massima potenza che l'utente riceve e dipende sul carico (in generale complesso)

Si può quindi definire un

coefficiente di trasferimento di potenza

$$\tau \equiv \frac{P_L}{P_{L,\max}} = 4 \frac{R_L \cdot R_A}{|Z_L + Z_A|^2} \leq 1$$

$\tau \rightarrow 1$ nel caso in cui l'impedenza di utente sia il complesso coniugato dell'impedenza di carico.

Un altro parametro utile è caratterizzare la potente raccolte dell'antenna e l'efficienza definita in modo che, dette $S(\theta, \phi)$ la densità di potente incidente (modulo del vettore di Poynting Camp) la direzione (θ, ϕ) , la potente raccolte dell'antenna in condizione di accoppiamento completo al cones posse essere scritta nelle forme

$$P_{L, \text{max}} = S(\theta, \phi) A(\theta, \phi)$$

$A(\theta, \phi)$ è quindi una nuova funzione di trasformata dipendente delle direzioni di osservazione.
E' inoltre legata all'efficienza:

$$P_{L, \text{max}} = \frac{1}{2} \frac{|E^i \cdot h_R|^2}{|Z_A + Z_A^*|^2} R_A = \frac{1}{2} \frac{|E^i \cdot h_R|^2}{4 R_A} \\ \equiv S A$$

$$\text{ma } S(\theta, \phi) = \frac{1}{2 \eta_0} |E^i|^2$$

$$\Rightarrow \frac{1}{2} \frac{|E^i \cdot h_R|^2}{4 R_A} = \frac{1}{2 \eta_0} |E^i|^2 A$$

$$A = \frac{z_0}{G R_A} \frac{|E^i \cdot h_R|^2}{|E^i|^2} = \frac{z_0}{G R_A} |h_R|^2 \frac{|E^i \cdot h_R|^2}{|E^i|^2 \cdot |h_R|^2}$$

La quantità $\frac{|E^i \cdot h_R|^2}{|E^i|^2 \cdot |h_R|^2} \triangleq \eta_p \leq 1$

corrisponde proprio al polarization Loss-factor PLF

(o efficiente di polarizzazione) e vale al massimo

$\eta_p = 1$ quando $E^i \parallel h_R^*$ (si ricordino gli esempi visti nel paragrafo sulle polarizzazioni)

$$A = \frac{z_0}{G R_A} \eta_p |h_R|^2$$

Nel caso più generale, cioè in caso di eddamenti coniugati, la potenza ricevuta dal corpo si può allora esprimere come

$$P_L = S(\theta, \phi) A_e(\theta, \phi) \eta_p T$$

dove adesso A_e indica l'area efficace in caso di eddamenti di polarizzazione (succedendo quindi delle tipologie del campo incidente)

$$A_e = \frac{z_0}{G R_A} |h_R|^2$$

L'area effettiva è una grandezza di campo contatto dell'antenna ed è legata al guadagno di queste. Basta infatti ricalcolare il guadagno in funzione dell'effettiva efficienza

$$G = 4\pi \frac{I(\theta, \phi)}{P_{in}}$$

$$P_{in} = \frac{1}{2} R_A |I_g|^2$$

$$G = 4\pi \frac{r^2 |E|^2}{2 \cdot \frac{1}{2} R_A |I_g|^2} =$$

$$I = \frac{1}{2\beta_0} r^2 |E|^2$$

intensità di radiazione

$$r^2 |E|^2 = z_0^2 k_0^2 |I_g|^2 \cdot h_{rel}^2 \frac{1}{(4\pi)^2}$$

$$= 4\pi \frac{\frac{z_0^2 k_0^2}{z_0 R_A} \frac{|h_{rel}|^2 |I_g|^2}{(4\pi)^2}}{z_0 R_A |I_g|^2} = 4\pi \frac{z_0 k_0^2 |h_{rel}|^2}{(4\pi)^2 R_A}$$

$$G = \frac{z_0 4\pi^2 |h_{rel}|^2}{4\pi R_A \lambda^2}$$

dividendo per 4π si ottiene

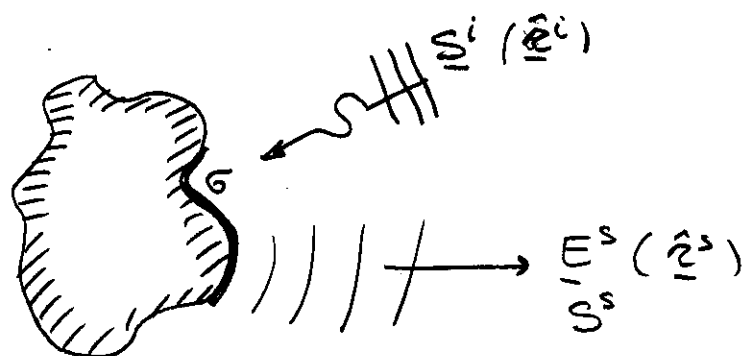
$$\frac{G}{A_e} = \frac{z_0 \pi |h_{rel}|^2}{\lambda^2 R_A z_0 |h_{rel}|^2} G_{RA} = \frac{4\pi}{\lambda^2}$$

$$\Rightarrow G = A_e \frac{4\pi}{\lambda^2}$$

$$A_e = \frac{G}{4\pi} \lambda^2$$

Le grandezze A_r , \bar{h}_r , τ , η_p descrivono compiuta-
mente il segnale e la potente ricevute da un'antenna.
Si vuole ora caratterizzare il corpo retrodiffuso.

Si consideri pure il caso generico del corpo retrodiffuso
sia da un oggetto sottile che vengano specificati
morselli e cono



Il corpo retrodiffuso ("backscattered") E^s
in zone contene ϵ legato direttamente alla densità di
potente incidente tramite la sezione di scattering -
(RADAR CROSS-SECTION) definita come

"quell'area σ in grado di riconoscere una quantità di potente
che, retrodiffusa in maniera isotropa, produce una
densità di potente uguale a quella realmente retrodiffusa
dall'oggetto fisico!"

Le formule:

$$P_c = S^i \bar{\sigma} \quad \text{potenza ricevuta dal target}$$

$$\frac{P_c}{4\pi r^2} \quad \text{potente re-iniettate isotropicamente} \\ (r \rightarrow \infty) \text{ in zone continue}$$

$$\frac{P_c}{4\pi r^2} = S^0 \quad \begin{array}{l} \text{delle definizione di } \bar{\sigma} \\ (S^0: \text{dens. pot. scatterata dell'oggetto reale}) \end{array}$$

$$\Rightarrow \frac{S^i \bar{\sigma}}{4\pi r^2} = S^2 \quad \bar{\sigma} = \lim_{r \rightarrow \infty} \left(4\pi r^2 \frac{S^0}{S^i} \right)$$

o anche

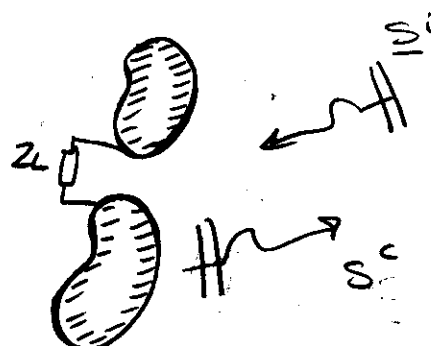
$$\bar{\sigma} = \lim_{r \rightarrow \infty} 4\pi r^2 \frac{|E^s(\vec{r}_s)|^2}{|E^i(\vec{r}_i)|^2} = \bar{\sigma}(\vec{r}_s, \vec{r}_i)$$

I campi incidenti e retrodiffusi possono essere osservati lungo una stessa direzione o lungo direzioni differenti

① r.c.s. monostatico $\vec{r}_s = \vec{r}_i$

② r.c.s. bistatico $\vec{r}_s \neq \vec{r}_i$

Si consideri ora come oggetto investito da una densità di potere uniforme i cui morsetti siano connessi ad un unico Z_L complesso



E' possibile esprimere le sezioni di scattering in funzione del guadagno dell'antenna e dell'impedenza del circuito. Limitandosi al solo caso monostato si ha

$$\sigma = \frac{\lambda^2}{4\pi} G^2 |A - T^*|^2$$

con $T^* = \frac{Z_L - Z_A^*}{Z_L + Z_A}$

Coeff. riflessione
generalizzato quando
l'impedenza di riferimento è complesse

A : un parametro complesso indipendente
del circuito ma solo delle dimensioni
dell'antenna.

Per antenne di dimensioni comparabili con una
lunghezza d'onda si può approssimare $A \approx 1$ da
cui:

$$\sigma = \frac{\lambda^2}{4\pi} G^2 |1 - T^*|^2 =$$

$$= \frac{\lambda^2}{4\pi} G^2 \left| \frac{Z_L + Z_A - Z_L + Z_A^*}{Z_L + Z_A} \right|^2 =$$

$$G = \frac{\lambda^2}{4\pi} G^2 \frac{4 R_A^2}{|Z_L + Z_A|^2} \quad \boxed{| \times \eta_p |}$$

tiene conto
dell'adattamento
in polarizzazione

Le radar cross-section descrive quindi le "visibilità elettromagnetiche" di un corpo (applicazione nel controllo Radar del tirofisso aereo) che può essere modificata (estetizzate oppure minimizzate) variando il concimento di impedenza. (sistemi stealth)

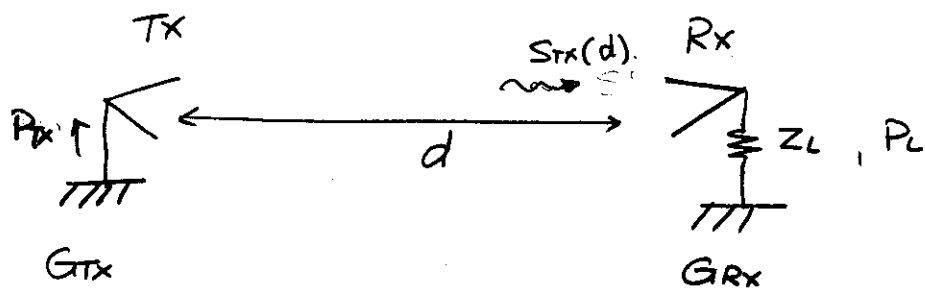
A questo punto ci sono tutti gli strumenti per studiare le modalità di collegamento nei sistemi body centrici.

RADIO-COLLEGAMENTO

LINK SIMMETRICO (Teg Attivi)

- wireless sensor networks
- terminali mobili
- medium-range e long-range devices

Un link di comunicazione di questo tipo in cui si reca che la trasmissione è ricevuta può essere descritto dall'equazione di Friis. (formula del radio collegamento), nell'ipotesi di spazio libero



La densità di potere che incide sull'antenna ricevente è data da

$$S_{rx} = \frac{1}{2\pi} |E_{rx}|^2 = \frac{1}{2\pi} d^2 |E_{tx}|^2 \frac{1}{d^2} = \frac{I_{tx}}{d^2}$$

intensità di radiazione

L'intensità di radiazione si può ricevere dal quodius dell'antenne trasmettente

$$G_{tx} = G_T \frac{I_{tx}}{P_{tx}} \Rightarrow S_{tx}(d) = \frac{P_{tx} G_{tx}}{G_T d^2}$$

$$P_{tx} \cdot G_{tx} = EIRP [W] \text{ (Effective radiated isotropic power)}$$

La potente raccolta dal ricevitore può essere scritta
a partire dall'area efficace

$$P_{Rx} = S_{Tx}(d) A_{Rx} \eta_P C$$

↓ perdite per dissipazione
 ↑ perdite per depolarizzazione

Sostituendo i vari termini si ha

$$P_{Rx} = \frac{P_{Tx} G_{Tx}}{4\pi d^2} \frac{G_{Rx} \lambda^2}{4\pi} \eta_P C$$

$$\frac{P_{Rx}}{P_{Tx}} = G_{Tx} \cdot G_{Rx} C \eta_P \left(\frac{\lambda}{4\pi d} \right)^2$$

FORMULA DI
FRIIS

$$\propto \left(\frac{d}{\lambda} \right)^{-2}$$

Le quantità $\sim G_{Rx} \hat{=} G_{Rx} \cdot C$ si dette

GUADAGNO REALIZZATO
DEL RICEVITORE

ed è direttamente proporzionale alle quantità di potente raccolte. Un'autenna ed elevato guadagno può essere fortemente degradata da un pessimo accettamento e viceversa. E' la grandeza da massimizzare per avere un buon ricevitore.

Il termine $(\lambda/4\pi d)^2$ descrive l'effrazione del radio collegamento nello spazio libero. In casi di ambienti reali questo termine va sostituito da un fattore di effrazione che tenga conto del multipath.

La massima distanza di un radio collegamento è impostata dalle quantità di potenza fix trasmesse e delle sensibilità del ricevitore, cioè la minima potenza raccolta $P_0 = P_{Rx}$ che permette di comprendere il contenuto delle comunicazioni.

$$d_{max} = \sqrt{\frac{G_{Tx} \cdot P_{Tx} \cdot G_{Rx} \cdot \eta_P}{P_0}} \left(\frac{\lambda}{4\pi} \right)$$

o anche

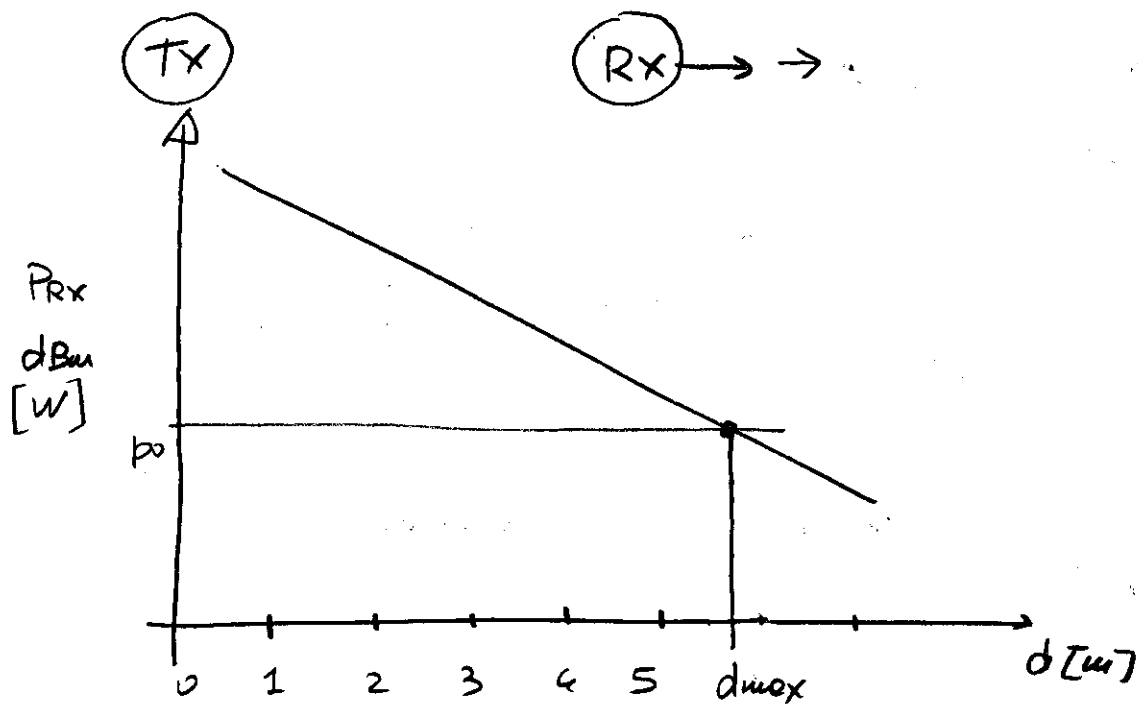
$$d_{max} = \frac{\lambda}{4\pi} \sqrt{\frac{EIRP_{Tx} \cdot G_{Rx} \cdot \eta_P}{P_0}}$$

valori tipici di sensibilità (in inglese "sensitivity") di un buon ricevitore sono dell'ordine di

-100 ÷ -80 dBmW



mobile
phone



Per aumentare le cunghezza del collegamento, essendo imposti vari limiti sulle potenze iniettate, bisogna migliorare il guadagno realizzato dal ricevitore nonché ridurre la minima potenza di segnale intellegibile (aumentare la sensibilità)

LINK ASIMMETRICI (Tag passivi)

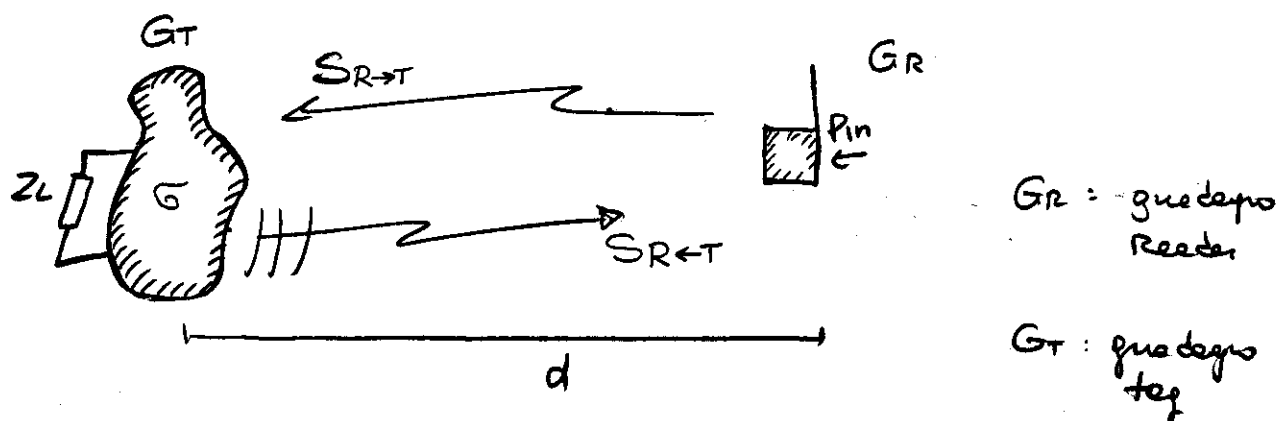
sistemi RFID

- passivi
- semi attivi
- $f > 800 \text{ MHz}$
(UHF)

In queste configuratione il reader funge da trasmettitore e ricevitore, mentre il tag esplice la sola funzione di retro-illuminare, eventualmente modulando, il segnale di interrogazione del reader.

Link diretto : READER \rightarrow TAG (Fris)

Link inverso : TAG \rightarrow READER (Rader)



GR : quadro
Reader

GT : quadro
tag

Ci si muove sempre nell'ipotesi di Spazio Libero.

La densità di potente incidente sul tag è data da

$$S_{R \rightarrow T}^{in}(d) = \frac{1}{2} \bar{Z}_0 |E_{R \rightarrow T}(d)|^2 = I_{R \rightarrow T}(d) \frac{1}{d^2}$$

=

con $I_{R \rightarrow T}(d)$ intensità di radiazione prodotta dal reader e volutato sul tag

$$\text{ma } I_{R \rightarrow T} = \frac{P_{in} G_R}{4\pi}$$

$$\Rightarrow S_{R \rightarrow T}(d) = \frac{P_{in} G_R}{4\pi d^2}$$

Sia σ la reeder cross-section del Tag, la densità di potenza re-immediata verso il reeder sarà

$$S_{R \leftarrow T}(d) = \frac{\sigma S_{R \rightarrow T}(d)}{4\pi d^2}$$

La potenze infine raccolte dal reeder (nell'ipotesi di perfetto adattamento di impedante sul reeder) è pertanto

$$P_{R \leftarrow T} = A_{e,R} S_{R \leftarrow T}(d) \eta_P$$

↑
era effice del reeder

sostituendo i vari termini si ottiene

$P_{R \leftarrow T} = \frac{A_{in} G_R A_{e,R} \sigma \eta_P}{(4\pi d)^2}$

Equazione del Reeder

può essere anche riscritta diversamente ricordando che

$$A_{e,R} = \frac{G_R}{4\pi} \lambda^2$$

$$\sigma = \frac{G^2}{4\pi} \lambda^2 \cdot \frac{4 R_A^2}{|Z_L + Z_A|^2} \eta_P$$

quindi, in definitiva

$$P_{R\leftarrow T} = \frac{P_{in} G_R G_T \lambda^2 G_T^2 \lambda^2}{G\pi (G\pi d^2)^2 G\pi} \frac{4 R_A^2}{|Z_L + Z_A|^2} m_p^2$$

$$P_{R\leftarrow T} = \left(\frac{\lambda}{G\pi d}\right)^4 P_{in} G_R^2 G_T^2 \frac{4 R_A^2}{|Z_L + Z_A|^2} m_p^2$$

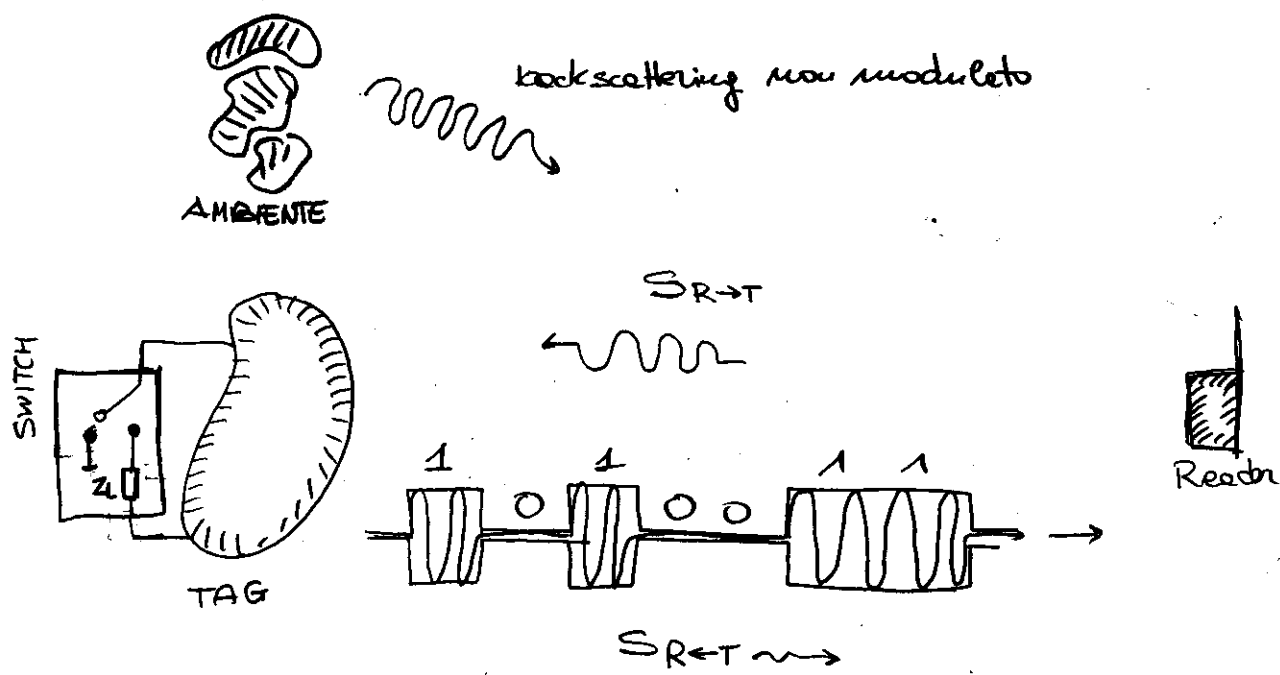
$$\propto \left(\frac{d}{\lambda}\right)^{-4}$$

Potenza di backscattering
in modalità monostatica

La potenza raccolta dal reeder può essere modulata
varcando l'impedenza del carico. Una tipica modulazione
è quella binaria

- stato 0 $Z_L = \infty$ (circuito aperto) $\Rightarrow P_{R\leftarrow T} = 0$
- stato 1 $\begin{cases} Z_L = 0 & \text{(corto circuito)} \\ \text{oppure} \\ Z_L = Z_A^* & \end{cases}$
 - $P_{R\leftarrow T} = \left(\frac{\lambda}{G\pi d}\right)^4 P_{in} G_R^2 G_T^2 \frac{4 R_A^2}{|Z_A|^2} m_p^2$
 - $P_{R\leftarrow T} = \left(\frac{\lambda}{G\pi d}\right)^4 P_{in} G_R^2 G_T^2 m_p^2$
indipendente dall'impedenza dell'antenna

Si ottiene in questo caso una modulazione di backscattering



La commutazione è svolta da una logica di controllo che consente una potenza P_T che viene prelevata direttamente dal segnale che proviene del reattore.

Le potenze raccolte quindi dal conico dell'antenna, e che può essere usata per alimentare le logiche di controllo, è data dalle formule di Friis che viene di seguito riassunta con formalismo matematis

$$P_{R-T} = P_{in} G_R \cdot \tilde{G}_T \eta_P \left(\frac{\lambda}{4\pi d} \right)^2$$

\uparrow potenza raccolta dal conico del tag

Tipicamente la sensibilità del reader è molto migliore delle sensibilità dello switch posto sul tag, e di conseguente il collo di bottiglia nello stabilire il radiocollegamento è dato proprio dal link diretto

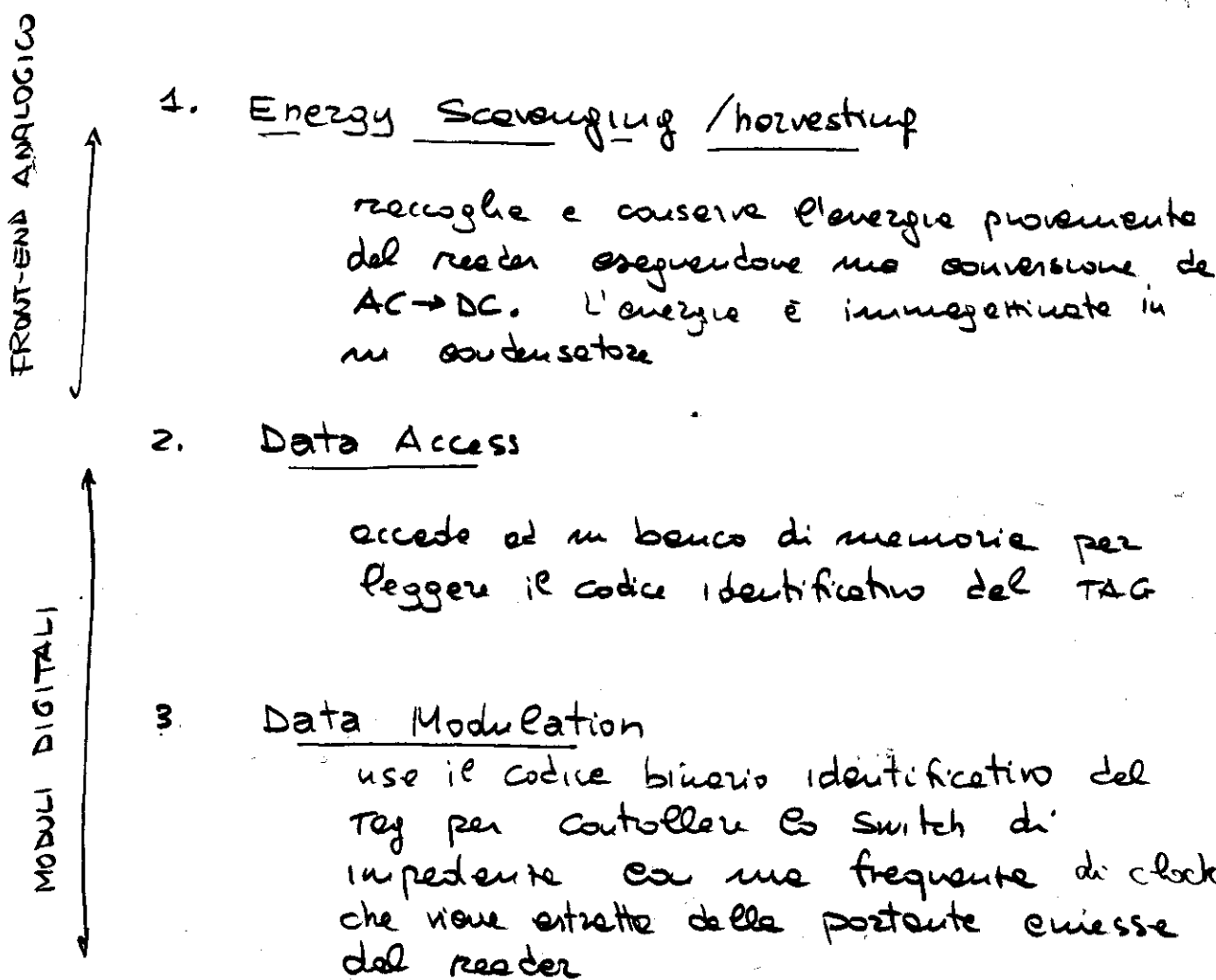
Reader \rightarrow Tag

La mancanza di una fonte di alimentazione locale sul tag fa sì che i sistemi passivi abbiano una distanza di lettura molto inferiore a quelle dei sistemi attivi (cioè provvisti di una fonte locale di alimentazione).

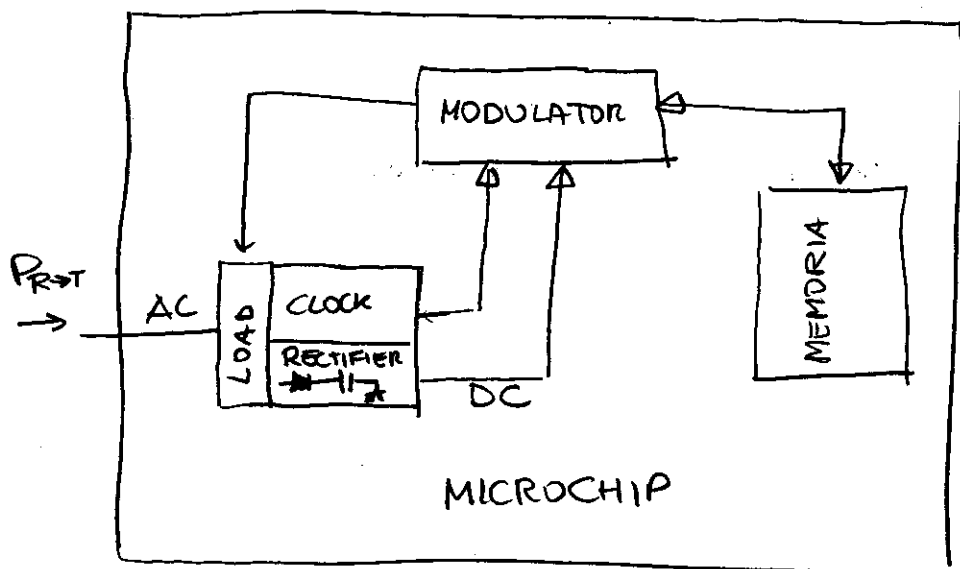
	d_{max}
• sistemi passivi	1m - 10m
• Sistemi attivi	$\sim 100 \text{ m}$ Km

LOGICA DI MODULAZIONE DI BACKSCATTERING

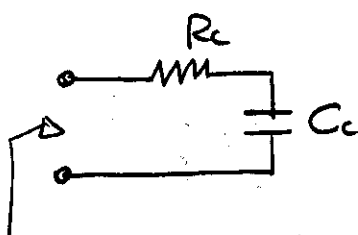
La logica che si occupa di controllare lo switch di impedenza di cerniere del TAG e contenuta in un modulo che svolge complessivamente le seguenti funzioni:

- 
1. Energy Scavenging / harvesting
 riconosce e conserva l'energia proveniente dal reader eseguendo una conversione da $AC \rightarrow DC$. L'energia è immagazzinata in un condensatore
 2. Data Access
 accede ad un banco di memoria per leggere il codice identificativo del TAG
 3. Data Modulation
 usa il codice binario identificativo del Tag per controllare lo switch di impedenza con una frequenza di clock che viene estratta dalle portate emesse dal reader

Tutte queste funzionalità vengono espletate da un microchip grande come un granello di sabbia.



Da un punto di vista circuitale, il microchip
è equivalente al seguente circuito a radiofrequenza



$$Z_L = R_c - j \frac{1}{\omega C_c}$$

$$X_C = \frac{1}{\omega C_c} \sim 100-200 \Omega$$

$$R_c \sim 10-50 \Omega$$

C_c : capacità di
energie

Per ottenere il massimo trasferimento di potente dall'antenna
verso il chip deve essere

$$R_A = R_c \quad \text{pochi ohm}$$

$$X_A = -X_C \quad \text{induttiva}$$

CARATTERIZZAZIONE Sperimentale DI UN TAG PASSIVO

Come si è detto, la grandezza che caratterizza abbastanza compiutamente un tag passivo è il quedegno realizzato

$$\tilde{G}_{\text{TAG}} = G_T \cdot \epsilon \quad (\theta, f)$$

che risulta dipendente dall'angolo di osservazione e dalla frequenza. Può essere facilmente misurato con un normale reader tenendo il metodo del TURN-ON.

Si era trovato che in condizioni di spazio libero le potenze raccolte dal microchip. è date da

$$P_{R \rightarrow T} = P_{in} G_R \tilde{G}_T \gamma_P \left(\frac{\lambda}{4\pi d} \right)^2$$

Fissate le distanze tra reader e tag, si suppone di incrementare la potenza in ingresso all'interno del reader P_{in} partendo da $P_{in} = 0$ fino a che il tag non inizi a rispondere. Il minimo valore di potenza fin

per il quale si ha risposta del tag è detto

Potenza di turn-on

$$P_{in}^{TO} = \min \{ P_{in} \}$$

In queste particolari condizioni la potenza ricevuta dal microchip del tag è propria data da

$$P_{R \rightarrow T} = P_T$$

civè per elle sensibilità del tag (fornita dal costruttore del chip).

L'equazione di Minis si può allora invertire per calcolare G_T

$$\eta_p \tilde{G}_T = \left(\frac{4\pi d}{\lambda} \right)^2 \frac{P_T}{P_{in} \cdot G_R} \quad f\{\Theta, \phi, f\}$$

Se il reader è posto in adattamento di polarizzazione con P_{tag} si può ammettere $\eta_p = 1$. Diversamente se il tag ha polarizzazione lineare e l'antenna del reader ha polarizzazione circolare si può allora porre $\eta_p = 1/2$.

Queste misure devono essere ripetute al vario dell'angolo di osservazione e al vario delle frequenze.

E' inoltre necessario minimizzare le interazioni con l'ambiente

- d piccola $\sim 0.5 \div 1 \text{ m}$
- pennelli assorbenti

In condizioni di turn-on è utile conoscere le potenze raccolte dal rete (P_{RE}) e quelle di turn-on nel modo seguente

$$\frac{1}{2} \frac{\sqrt{P_{RE} \cdot P_{TO}}}{P_T} = \gamma\%$$

Essendo al turn-on è $P_T = P_{RE} = P_{in}^{TO} G_R G_T C \gamma_P \left(\frac{\lambda}{G_{Td}}\right)^2$

$$\gamma\% = \frac{1}{2} \frac{\sqrt{\left(\frac{\lambda}{G_{Td}}\right)^4 P_{in}^{TO} G_R^2 G_T^2 \frac{C R_A^2}{(Z_L + Z_A)^2} \gamma_P^2 \cdot P_{in}^{TO}}}{P_{in}^{TO} G_R G_T \gamma_P \left(\frac{\lambda}{G_{Td}}\right)^2 \frac{C R_A R_L}{(Z_A + Z_L)^2}} =$$

$$= \frac{1}{2} \frac{|Z_A + Z_L|}{R_L} = AID$$

ANALOG IDENTIFIER

non dipende dalle distanze, né dell'orientazione
ma solo dell'adattamento di impedenza

Nel caso in cui l'antenna del tag ed il microchip
siano in adattamento completo ($Z_A = Z_L^*$)

$$\text{allora } Z_A + Z_L \equiv 2R_L \Rightarrow AID = 1$$

Queste grandezze portano quindi informazioni sull'adattamento
e ha anche implicazioni in applicazioni sensoristiche come
si vede di seguito

COMUNICAZIONE PER ACCOPPIAMENTO INDUTTIVO

A frequenze di qualche decina di MHz o centinaia di KHz, le antenne del Reader e del Tag dovrebbero essere molto grandi per stabilire un radioocollegamento basato su propagazione di onde elettromagnetiche.

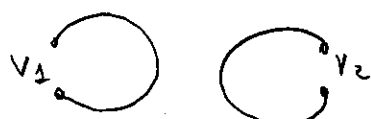
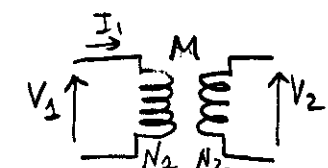
Si sfrutta invece il fenomeno dell'accoppiamento magnetico (detto anche accoppiamento induttivo).

Il modello che viene di seguito descritto è lo base dei dispositivi RFID in banda LF (125 KHz) ed HF (13,56 MHz), ma anche i cerchi battere wihelen di prossima generazione.

In questi casi le antenne sono piccoli loop, spesso provvisti di più spire.

Il trasferimento di tensione tra il reader ed il tag viene ottenuto tramite accoppiamento induttivo tra i due loop. Tutte le interazioni di intere enzymous nel campo vicino. (Non in zone proporzionali)

Come in un trasformatore connesso in serie, dove la tensione nell'auspimento primario è trasferita in quello secondario, allo stesso modo la tensione sul loop del rete di vena trasferita nel loop del terzario e viceversa.

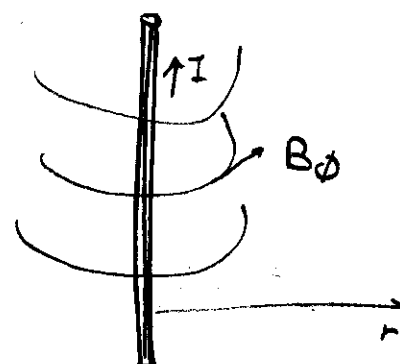


$$\frac{V_1}{V_2} = \frac{N_1}{N_2}$$

$$V_2 = -M \frac{dI_1}{dt}$$

In base alla legge di Ampere, mi consente che attraverso un filo rettilineo, per esempio infinito, produce un campo di induzione magnetico.

$$B = \frac{\mu_0 I}{2\pi r} \quad \vec{\Phi}$$

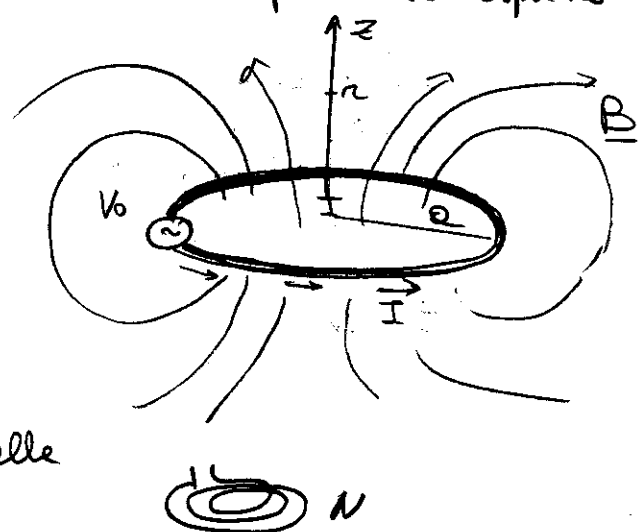


Se il conduttore forma una spira (loop) il campo di induzione magnetica in zone vicine può essere espresso come segue

$$B_z = \frac{\mu_0 I N a^2}{2(a^2 + z^2)^{3/2}}$$

lungo l'asse delle spine

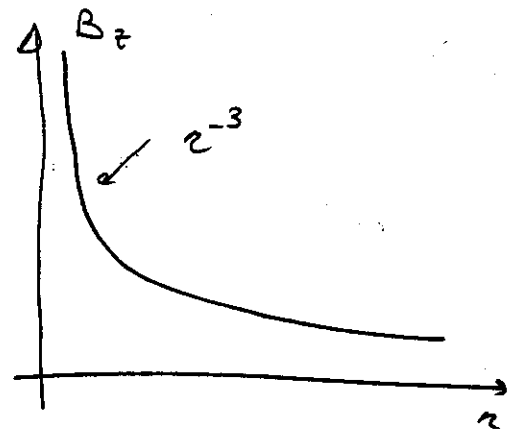
N : # degli auspimenti delle spine



a distanza $r^2 \gg a^2$ l'espressione precedente si semplifica

$$B_z \approx \frac{\mu_0 N I a^2}{2} \left(\frac{1}{r^3} \right) \quad r \gg a$$

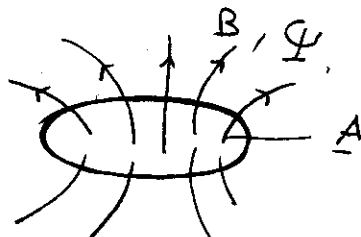
Il campo induzione magnetica si ottiene quindi con la 3^a potente delle distanze, e cioè con legge molto più rapida del campo elettrico nelle regioni di propagazione.



Quando due loop sono in zone di proximità, la loro interazione (trasferimento di energia) segue la legge di Faraday.

"Un campo magnetico variabile nel tempo che scorre lungo un percorso conduttore chiuso, induce una tensione attorno al loop detta FORZA ELETTROMOTRICE INDUTTA (EMF)"

In particolare, la tensione indotta è uguale alla variazione nel tempo del flusso del campo magnetico che attraversa l'area delle spire



$$V = EMF = -N \frac{d\Phi}{dt}$$

$$\Phi = \iint \underline{B} \cdot d\underline{s}$$

flusso del campo magnetico

$d\underline{s}$:

elemento di superficie



orientato secondo la normale

Il segno (-) indica che le forze elettromotrici indotte sul bobo generano una corrente secondaria che le sue volte eroga un campo magnetico che tende ad opporsi al campo magnetico induttore.

Il prodotto scalare $\underline{B} \cdot d\underline{s}$ tiene conto delle specifiche orientazioni tra il campo del reader e quello del tag.

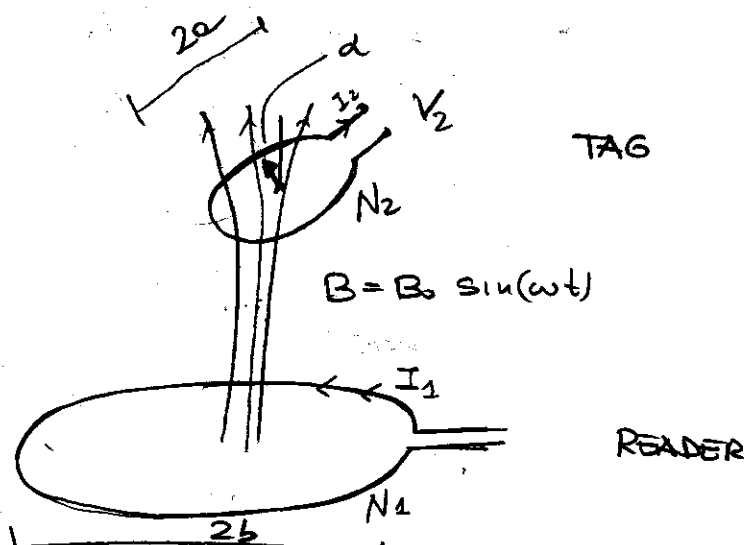
L'interazione migliore

si ha quando le

coil muovono le

linee di forza del

campo magnetico induttore.



Si consideri ora un sistema Reader/Tag, assumendo per ipotesi che i due bobini siano paralleli (max coupling)
 $\Rightarrow \alpha = 0$

$$V_2 = -N_2 \frac{d\psi_{21}}{dt} = -N_2 \frac{d}{dt} \iint B \, ds$$

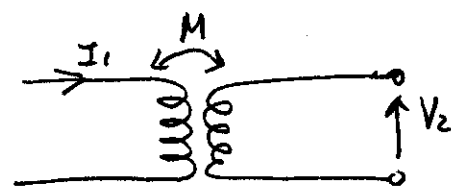
$$= -N_2 \frac{d}{dt} \left[\iint \frac{\mu_0 I_1 N_1 a^2}{2(a^2 + z^2)^{3/2}} \, ds \right]$$

$$= - \left[\frac{\mu_0 N_1 N_2 a^2 (\pi b^2)}{2 (a^2 + z^2)^{3/2}} \right] \frac{dI_1}{dt}$$

Si pone $M \triangleq \frac{\mu_0 N_1 N_2 a^2 (\pi b^2)}{2 (a^2 + z^2)^{3/2}}$

Induttore mutua
tra i due
loop

$$V_2 = -M \frac{dI_1}{dt}$$



L'induttore è quindi
rappresentabile con
un trasformatore di
impedenza.

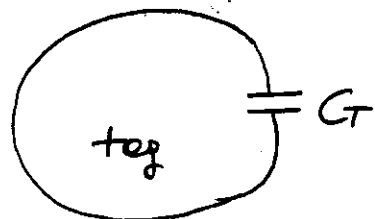
Il corrente sul coil primo (riader) produce un
flusso magnetico che a sua volta causa una corrente
di induzione sul loop secondo..

L'induttore mutua è dipendente dalle distanze ($\propto \frac{1}{z^3}$)
e delle dimensioni dei due loop.

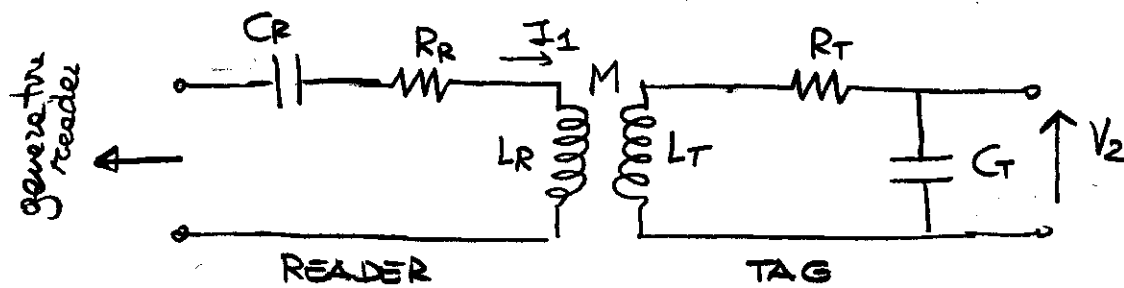
L'accoppiamento risulta tanto maggiore ed efficiente quanto più il loop ricevente è prossimo alle risonanze.

Siccome un loop piccolo ha una impedenza d'ingresso induttiva, bisogna aggiungere un condensatore di tuning.

Le stesse cose vale per il loop del reader



Il modello circuitale pertanto diventa



Il condensatore di tuning del loop ricevente va scelto in modo tale che la frequenza di risonanza del C_t così coniato corrisponde alla frequenza di lavoro.

$$f_0 = \frac{1}{2\pi\sqrt{L_T \cdot C_t}}$$

Le tensioni raccolte dai due loop riceventi, tenendo ora anche conto delle diverse orientazioni tra le due monadi (angolo α) e delle presenze dei componenti di sistema, può essere scritte nelle forme generali seguenti

$$V_2 = N_2 j \omega B_0 S \cos \alpha \cdot Q \quad \left. \begin{array}{l} \text{nel dominio} \\ \text{dei fatti} \end{array} \right.$$

S : area del loop ricevente

B_0 : ampiezza del campo induzione magnetica sul loop ricevente (supposto costante entro l'area concatenata dal loop)

Q : fattore di qualità del circuito ricevente

L'induzione di tensione (e quindi la trasmissione di potenza) tra i due loop sarà più elevata per Q alti e loop grandi.

Un circuito con Q elevato ha però basse strette e quindi va trovato il giusto compromesso.

In questo modo opera il cirk direkto. Il microloop del loop ricevente si ottiene quando la

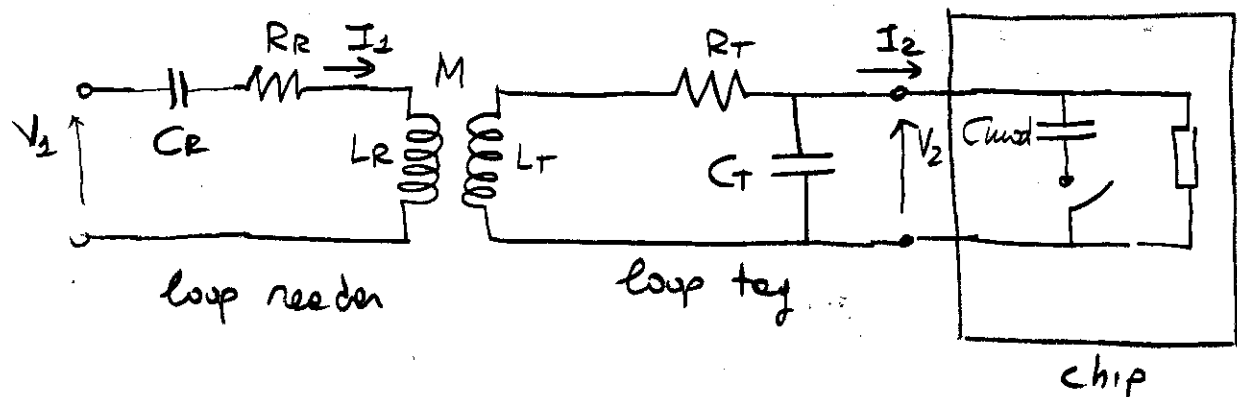
tensione indotta ed i suoi capi supera un certo
valore. (sensibilità del chip)

$$V_2 > V_{Th}$$

Si descrive ora il link inverso, nel quale avviene
lo scambio di informazioni tra tag e reader.

A tal fine nel microchip è presente un condensatore aggiuntivo che può essere connesso in parallelo al condensatore di tuning per mezzo di uno switch digitale controllato dal modulo letture che accende il codice del chip all'interno del suo banco di memoria.

Il circuito completo è il seguente



Quando l'interruttore è aperto, la tensione V_1 ai capi del loop del reader è

$$V_1^{(0)} = \frac{1}{j\omega C_R} I_2 + j\omega L_R I_2 + R_R I_1 - j\omega M I_2^{(0)}$$

stato '0'

\downarrow
 $I_2^{(0)}, I_1^{(0)}$
 $V_1^{(0)}$

Poiché il sistema è stato sottoposto alle frequenze di Ponzo, (si trova ora in risonanza) allora

$$V_0^{(0)} = R_R I_1^{(0)} - j\omega M I_2^{(0)}, \quad \text{Tensione nello stato } (0)$$

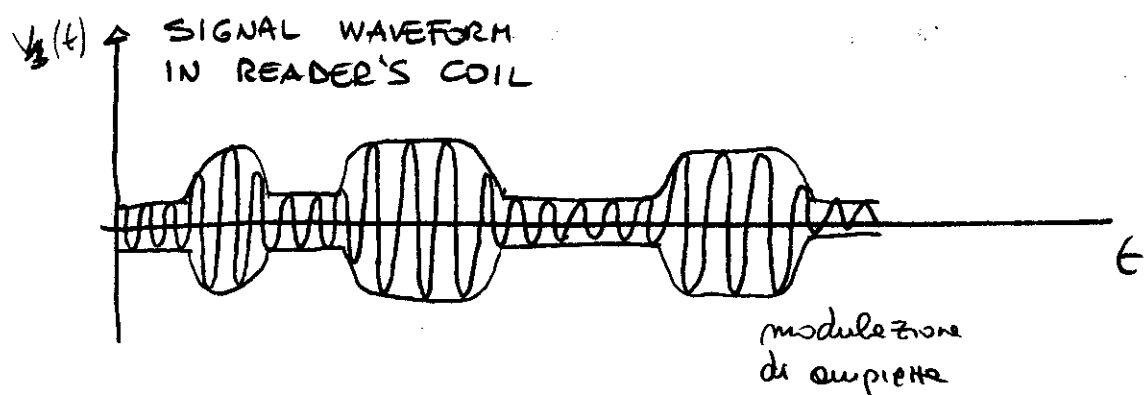
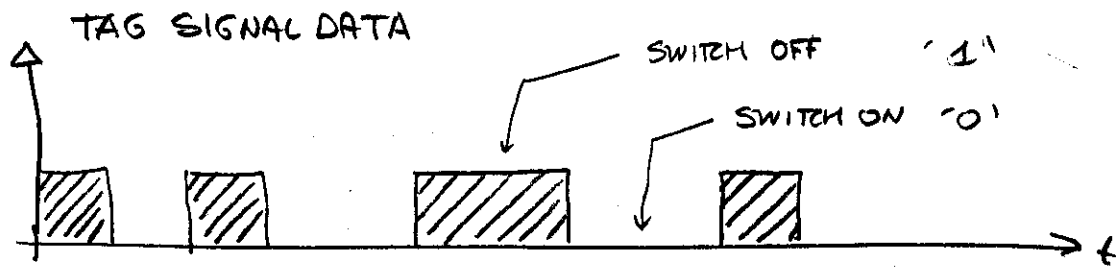
Quando l'interruttore è nuovamente chiuso le frequenze di risonanza del loop ricevente sarà comunque

$$\text{1w} \quad f_1 = \frac{1}{2\pi\sqrt{LT \cdot (C_T + C_{mod})}}$$

e quindi le corrente I_2 sarà di conseguente comunque e la tensione sul loop del ricevitore sarà diversa.

$$V_L^{(1)} = R_R I_1^{(1)} - j\omega M I_2^{(1)} \quad \text{stato } (1)$$

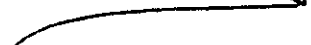
In altri termini, modificando lo stato del selettore (combinando di conseguente le capacità di accorciamento del loop ricevente) ci sarà una modulazione del segnale di tensione sul loop intercettante. Si parla di modulazione capacitiva.



Il segnale di tensione sul loop del reader è più alto nel caso in cui l'interruttore sia aperto (circuiti accoppiati).

Dato l'elevata attenuazione del campo magnetico con la distanza, le massime distanze di lettura è dell'ordine di:

$$1 \text{ cm} \div 1 \text{ m}$$

sistemi quasi contattuali

(Near Field Communication)

NFC